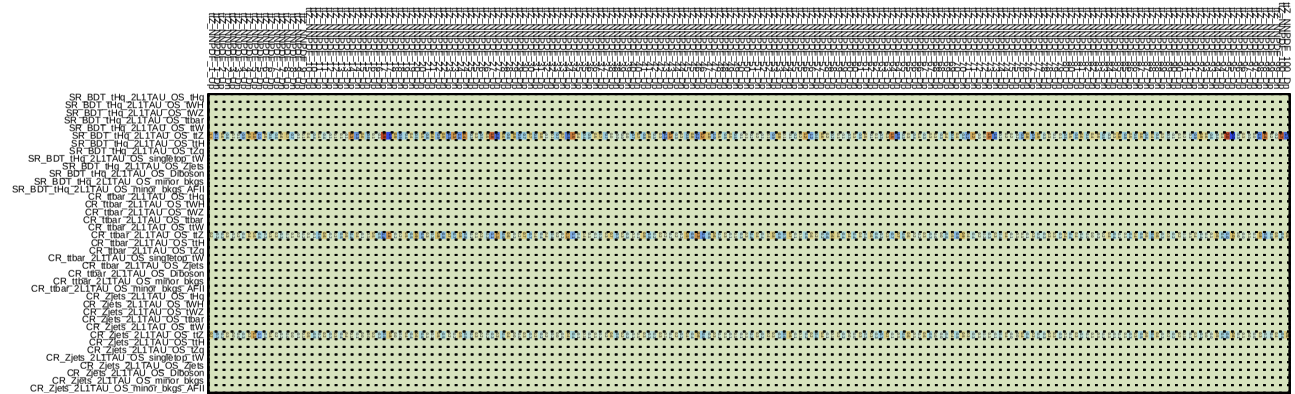
SR_BDT_tHq_2L1TAU_OS_tHq
SR_BDT_tHq_2L1TAU_OS_tWH
SR_BDT_tHq_2L1TAU_OS_tWZ
SR_BDT_tHq_2L1TAU_OS_ttbar
SR_BDT_tHq_2L1TAU_OS_tW
SR_BDT_tHq_2L1TAU_OS_tZ
SR_BDT_tHq_2L1TAU_OS_tH
SR_BDT_tHq_2L1TAU_OS_tZq
SR_BDT_tHq_2L1TAU_OS_smdlepp_tW
SR_BDT_tHq_2L1TAU_OS_Zjets
SR_BDT_tHq_2L1TAU_OS_Diboson
SR_BDT_tHq_2L1TAU_OS_minor_bkgs
SR_BDT_tHq_2L1TAU_OS_minor_bkgs_AFII
CR_ttbar_2L1TAU_OS_tHq
CR_ttbar_2L1TAU_OS_tWH
CR_ttbar_2L1TAU_OS_tWZ
CR_ttbar_2L1TAU_OS_ttbar
CR_ttbar_2L1TAU_OS_tW
CR_ttbar_2L1TAU_OS_tZ
CR_ttbar_2L1TAU_OS_tH
CR_ttbar_2L1TAU_OS_tZq
CR_ttbar_2L1TAU_OS_smdlepp_tW
CR_ttbar_2L1TAU_OS_Zjets
CR_ttbar_2L1TAU_OS_Diboson
CR_ttbar_2L1TAU_OS_minor_bkgs
CR_ttbar_2L1TAU_OS_minor_bkgs_AFII
CR_Zjets_2L1TAU_OS_tHq
CR_Zjets_2L1TAU_OS_tWH
CR_Zjets_2L1TAU_OS_tWZ
CR_Zjets_2L1TAU_OS_ttbar
CR_Zjets_2L1TAU_OS_tW
CR_Zjets_2L1TAU_OS_tZ
CR_Zjets_2L1TAU_OS_tH
CR_Zjets_2L1TAU_OS_tZq
CR_Zjets_2L1TAU_OS_smdlepp_tW
CR_Zjets_2L1TAU_OS_Zjets
CR_Zjets_2L1TAU_OS_Diboson
CR_Zjets_2L1TAU_OS_minor_bkgs
CR_Zjets_2L1TAU_OS_minor_bkgs_AFII